

# FYZIKÁLNÍ PRAKTIKUM

## Fyzikální praktiku 3

**Zpracoval:** Radek Žemlička

**Naměřeno:** 22. května 2009

**Obor:** F    **Ročník:** II    **Semestr:** IV

**Testováno:**

---

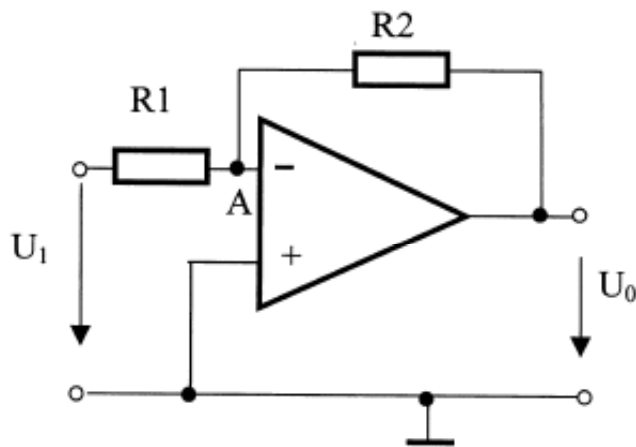
### Úloha č. 7:    Operační zesilovač

## 1 Teorie

Operační zesilovač je univerzální stejnosměrný zesilovací analogový elektronický obvod, jenž je základním prvkem analogových elektronických systémů. Ideální model má nekonečně velké zesílení  $A_u$ , nekonečně velký vstupní odpor  $R_{vst}$  a nulový výstupní odpor  $R_{vyst}$ . Reálný model mívá zesílení alespoň  $A_u = 10000$ , vstupní odpor  $R_{vst} = 50\text{k}\Omega$  a výstupní odpor  $R_{vyst} = 50\text{k}\Omega$ . Tato součástka má dva vstupy, invertující a neinvertující, a jeden výstup. Pokud přijde signál na invertující vstup, na výstupu bude s opačnou fází, bude-li připojen na neinvertující vstup, na výstupu bude signál se stejnou fází. Operační zesilovač má dále vstupy pro napájení.

## 2 Práce s operačním zesilovačem

### 2.1 Zapojení zesilovače s invertujícím vstupem



Obrázek 1: Zapojení zesilovače s invertujícím vstupem

Je-li signál přivedený na 3. vstup, pak je výstupní signál k němu v opačné fázi. Vstupní napětí je přes rezistor  $R_1$  přivedeno na invertující vstup, kde je zesíleno a na výstupu se objeví s opačnou polaritou. Výstupní napětí je přivedeno přes rezistor  $R_2$  na vstup, kde zmenšuje vstupní napětí. Obvod se ustálí ve stavu, kdy je v bodě A téměř nulové napětí. Z rovnosti proudů v uzlu A plyne:

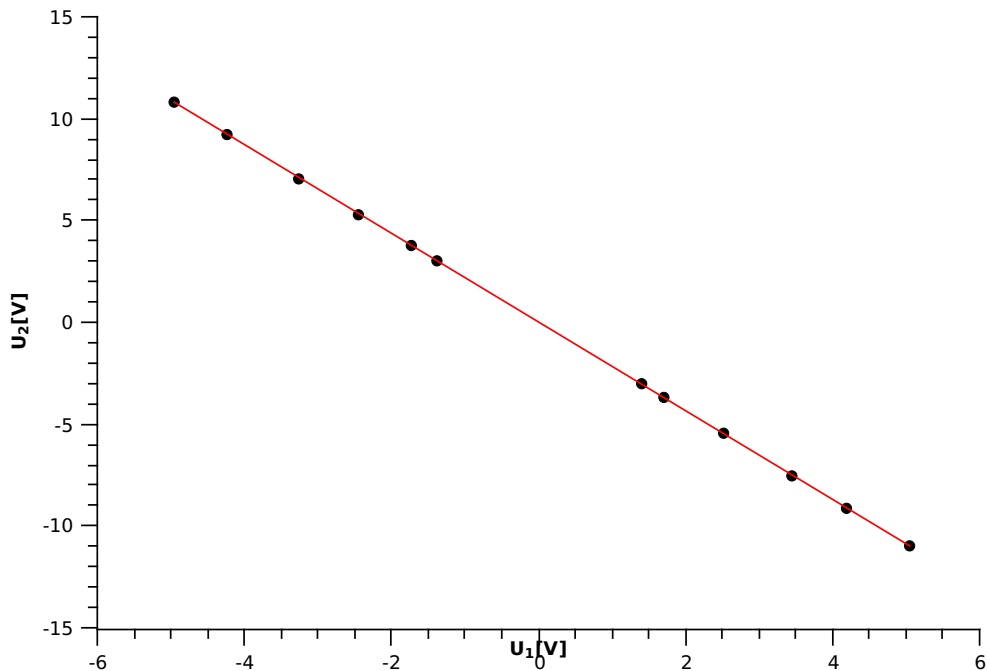
$$U = -\frac{R_2}{R_1} U_1 \quad (1)$$

### 2.1.1 Měření a výsledky úkolu 1

Bыло měreno výstupní napětí pro vstupní napětí v rozsahu od  $-5V$  do  $+5V$ . Hodnoty použitých odporů byly  $R_1 = 1\Omega$  a  $R_2 = 22\Omega$ . Teoretická hodnota  $\frac{R_2}{R_1} = 2,2\Omega$ . Naměřené hodnoty shrnuje tabulka 1. Závislost  $U_0$  na  $U_1$  byla vynesena do grafu v obrazku 2.

$U_1[V]$	5,04	4,18	3,45	2,51	1,71	1,40	-1,39	-1,74	-2,44	-3,26	-4,24	-4,95
$U_0[V]$	-11,00	-9,15	-7,53	-5,47	-3,67	-3,05	3,03	3,80	5,30	7,08	9,22	10,78

Tabulka 1: Naměřené hodnoty vstupního a výstupního napětí



Obrázek 2: Závislost výstupního napětí na vstupním

Směrnice přímky grafu 2 byla numericky vypočítána jako  $-2,178 \pm 0,002$ , což odpovídá očekávané, teoretické hodnotě.

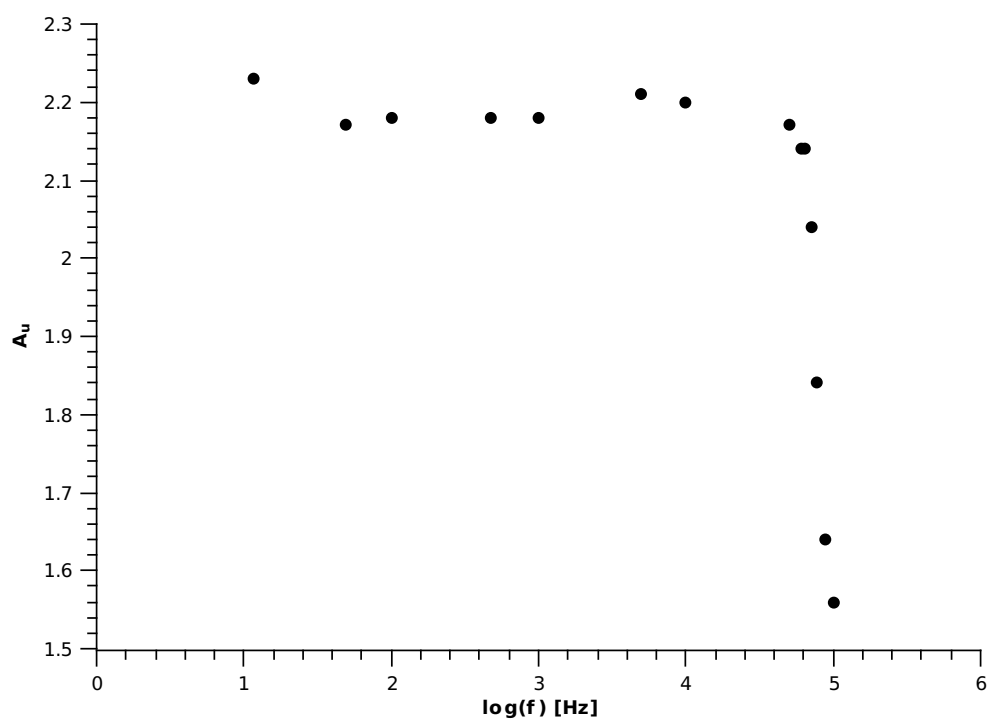
### 2.1.2 měření a výsledky úkolu 2

Následně bylo na výstup téhož zesilovače přivedeno střídavé napětí o amplitudě  $1V$ . Pro frekvence v rozsahu  $10Hz$  až  $100kHz$  byly měřeny hodnoty  $U_1$  a  $U_2$  a hledána závislost zesílení  $A_u = \frac{U_0}{U_1}$  na frekvenci. Naměřené hodnoty shrnuje tabulka 2.

Do grafu v obrázku 3 byla vynesena závislost zesílení na logaritmu frekvence. Z tohoto grafu byla přibližně stanovana hranice přenoseové oblasti na  $80kHz$ .

$f[\text{Hz}]$	$U_1[V]$	$U_0[V]$	$A_u$
11	2,12	4,72	2,23
49	2,16	4,68	2,17
100	2,20	4,80	2,18
484	2,24	4,88	2,18
1000	2,20	4,80	2,18
5000	2,24	4,96	2,21
10000	2,20	4,96	2,25
50000	2,28	4,94	2,17
60000	2,24	4,80	2,14
65000	2,24	4,80	2,14
70000	2,28	4,64	2,04
78000	2,24	4,12	1,84
90000	2,32	3,80	1,64
100000	2,24	3,50	1,56

Tabulka 2: Hodnoty měřené pro určení závislosti zesílení na frekvenci

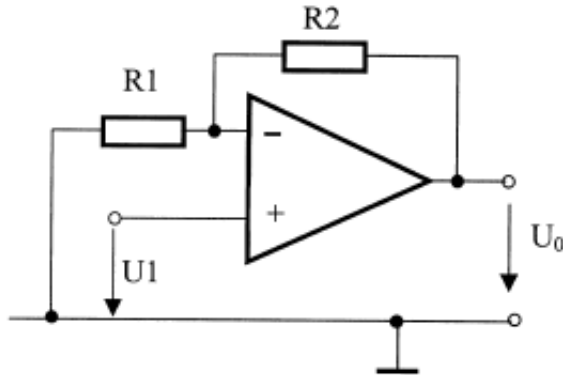


Obrázek 3: Graf závislosti zesílení na logaritmu frekvence

## 2.2 Zapojení zesilovače s neinvertujícím vstupem

Schéma zapojení neinvertujícího zesilovače je na obrázku 4. Pro zesílení neinvertujícího zesilovače platí vztah:

$$U_0 = \left(1 + \frac{R_2}{R_1}\right) \cdot U_1 \quad (2)$$



Obrázek 4: Zapojení zesilovače s neinvertujícím vstupem

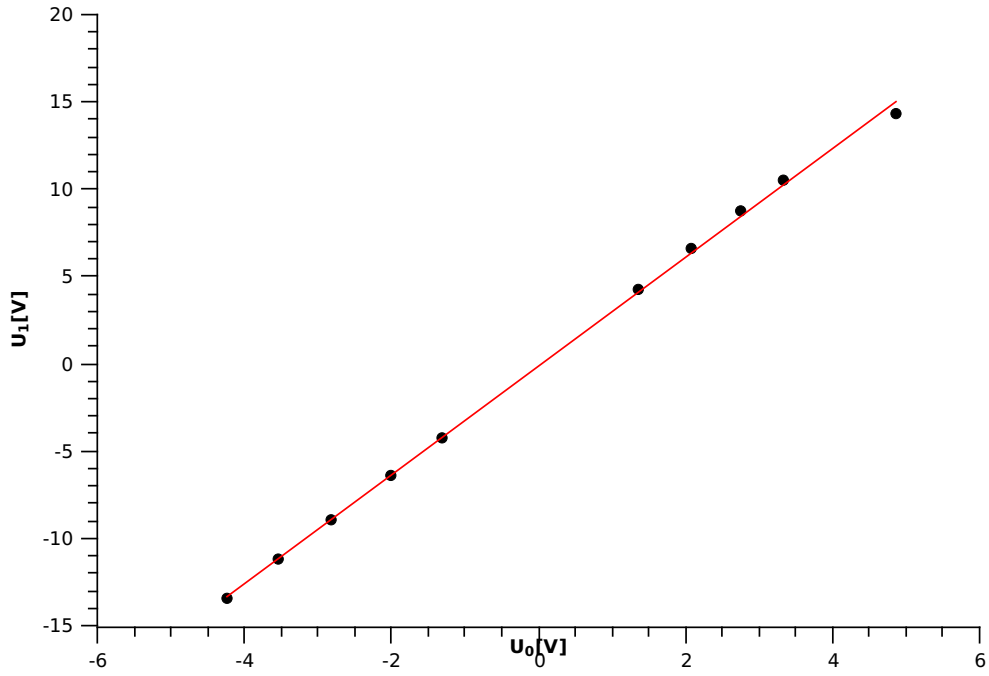
### 2.2.1 měření a výsledky úkolu 3

Měření bylo prováděno stejně jako v úkolu 1. Naměřené hodnoty shrnuje tabulka 3.

$U_1[V]$	4,86	3,32	2,76	2,08	1,35	-1,32	-2,01	-2,81	-3,54	-4,24	-5,02
$U_0[V]$	14,37	10,53	8,73	6,63	4,28	-4,20	-6,36	-8,90	-11,22	-13,42	-13,52

Tabulka 3: Naměřené hodnoty vstupního a výstupního napětí

Závislost  $U_0$  na  $U_1$  byla vynesena do grafu v obrazku 5. Směrnice přímky grafu 5 byla numericky vypočítána jako  $-3,11 \pm 0,03$ , což odpovídá očekávané, teoretické hodnotě.



Obrázek 5: Závislost výstupního napětí na vstupním

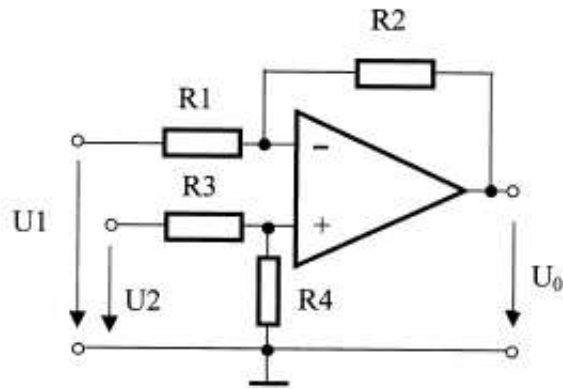
### 2.3 Rozdílový zesilovač

Rozdílový zesilovač je kombinací invertujícího a neinvertujícího. Schéma zapojení neinvertujícího zesilovače je na obrázku 6. Pro zesílení neinvertujícího zesilovače platí vztah:

$$U_0 = \frac{R_4(R_1 + R_2)}{R_1(R_3 + R_4)} U_2 - \frac{R_2}{R_1} U_1 \quad (3)$$

který se vhodnou volbou odporů zjednodušíl na vztah:

$$U_0 = 2,2(U_2 - U_1) \quad (4)$$



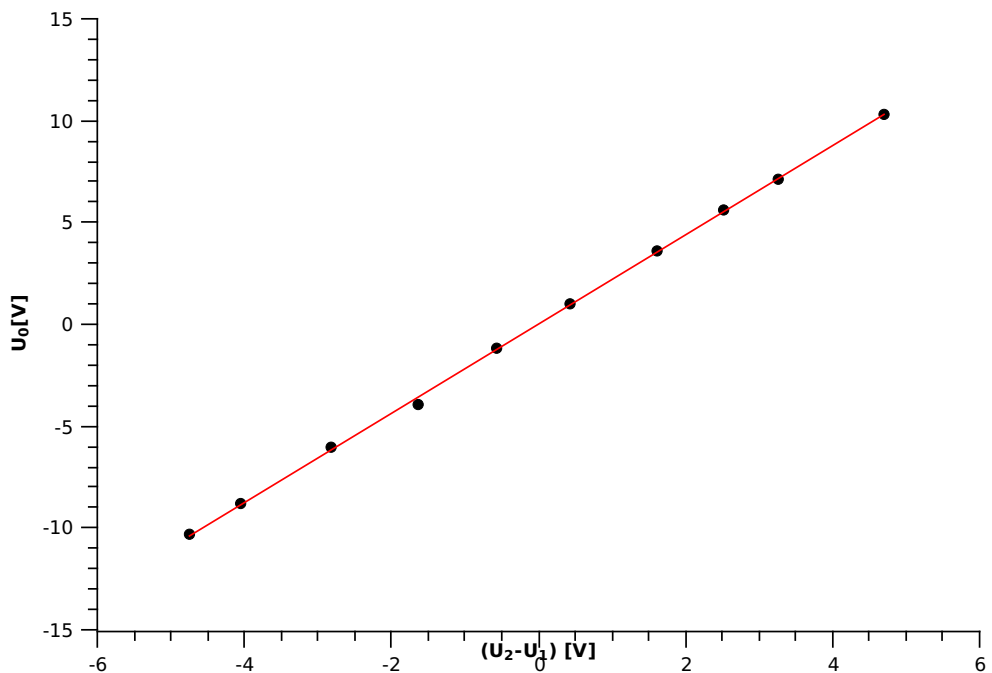
Obrázek 6: Zapojení rozdílového zesilovače

### 2.3.1 měření a výsledky úkolu 4

Pro vstupní napětí  $U_1$  a  $U_2$  bylo měřeno výstupní napětí  $U_0$ , aby bylo možné ověřit vztah 4. Měření shrnuje tabulka 4. Závislost  $U_0$  na  $(U_2 - U_1)$  byla vynesena v grafu v obrázku 7. Směrnice přímky má hodnotu  $2,19 \pm 0,01$  což se přesně shoduje s očekávanou hodnotou.

$U_1[V]$	$U_2[v]$	$U_0[V]$
1,30	6,01	10,33
2,03	5,30	7,16
2,59	5,10	5,60
3,87	5,49	3,60
3,85	4,28	0,99
4,85	4,29	-1,18
4,83	30,20	-3,90
5,83	3,01	-6,06
5,81	1,77	-8,78
6,51	1,76	-10,31

Tabulka 4: Hodnoty měřené pro úkol 4



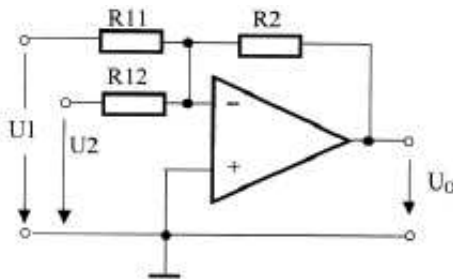
Obrázek 7: Závislost  $U_0$  na  $(U_2 - U_1)$

### 2.4 Sčítací zesilovač

Schéma zapojení sčítacího zesilovače je na obrázku 8 Pro výstupní napětí platí vztah 5 :

$$U_0 = - \left( \frac{R_2}{R_{11}} U_1 + \frac{R_2}{R_{12}} U_2 \right) \quad (5)$$

kde  $R_{11} = 22\Omega$ ,  $R_{12} = 10\Omega$  a  $R_2 = 10\Omega$



Obrázek 8: Zapojení rozdílového zesilovače

#### 2.4.1 měření a výsledky úkolu 5

Tabulka 5 shrnuje naměřené a teoreticky vypočítané hodnoty pro ověření vztahu 5. Naměřené hodnoty výstupního napětí  $U_0$  se blíží teoreticky určeným hodnotám výstupního napětí, což ověřuje uvedený vztah pro sčítací zesilovač.

$U_1[V]$	$U_2[V]$	$U_0[v]$ (naměřená hodnota)	$U_0[V]$ (vypočítaná hodnota)
4,52	7,60	-9,67	-9,63
2,86	7,60	-8,90	-8,89
2,83	4,86	-6,15	-6,13
1,70	4,85	-5,61	-5,62
1,67	3,58	-4,33	-4,33
1,35	2,80	-3,41	-3,41
-1,33	2,77	-2,16	-2,17
-1,33	1,24	-0,63	-0,64
-1,33	-1,25	1,86	1,85
-3,82	-1,24	2,98	2,96
-4,48	-2,68	4,71	4,70
-7,26	-2,65	-5,96	5,92
-10,32	-2,64	7,35	7,28
-10,27	-3,51	8,19	8,13
-10,60	-5,43	10,29	10,20

Tabulka 5: Hodnoty měřené pro úkol 5

### 3 Závěr

Byla ověřena funkčnost operačního zesilovače prostřednictvím několika různých způsobů použití. Ve všech případech se naměřené hodnoty shodovali s teoreticky určenými, očekávanými hodnotami.